

Светличный В.А., аспирант  
 Хорошайло Ю.Е., канд. техн. наук, доцент  
 Константинова Л.И., канд. физ.-мат. наук, доцент  
 Харьковский национальный университет радиоэлектроники  
 г. Харьков, Украина

## РАСЧЕТ ЭЛЕКТРОМАГНИТНЫХ ПОЛЕЙ В ТОНКИХ ПЛЕНКАХ

**Введение.** В настоящее время в мире, в том числе и в нашей стране наблюдается рост высокотехнологичных производств. Выпускаемая продукция должна соответствовать стандартам качества. Исходя из этого, системы контроля качества являются важнейшими составляющими любого технологического процесса [1]. Разнообразие и сложность геометрических форм деталей современного электротехнического оборудования, увеличение электромагнитных нагрузок и связанная с этим необходимость учета нелинейности среды, определяют предельно жесткие требования к точности расчетов электромагнитных полей.

Одним из наиболее эффективных и универсальных численных методов расчета электромагнитных полей является метод интегральных уравнений [2]. Однако, из-за некоторой сложности математического аппарата, он не нашел еще достаточно широкого распространения в электротехнических расчетах. Разработчики систем неразрушающего контроля, чаще обращаются к более громоздкому методу сеток. Огромный объем вычислений, связанных с размерностью получаемых систем алгебраических уравнений, на наш взгляд является недостатком метода сеток по сравнению с методом интегральных уравнений.

**Основная часть.** Сущность предлагаемого метода заключается в следующем. Для расчёта электромагнитного поля в любой точке пространства сначала определяются все источники поля. Заменив электромагнитное поле в неоднородной среде суммой двух полей в вакууме – первичного, созданного токами индуктора, и вторичного, образованного наведенными поверхностными зарядами на границе раздела сред и вихревыми токами, индуцированными в проводнике, строят итерационный алгоритм нахождения вторичных источников поля. При этом используется максимум информации о процессе [3, 4].

Проиллюстрируем использование метода вторичных источников на примере расчета синусоидально изменяющихся во времени квазистационарных электромагнитных полей в неоднородных проводящих средах. Необходимость решения такого рода численных задач, возникает при рассмотрении самых различных электротехнических проблем, например при рассмотрении наличия несовершенства тонких неферромагнитных пленок.

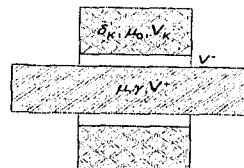


Рис.1. Вихревоковый измерительный преобразователь и объект контроля

Рассчитаем электромагнитное поле, созданное переменными токами заданной плотности  $\vec{\delta}_k$ , рис. 1 протекающими в катушках вихревокового измерительного преобразователя  $V_k$ , ( $k = 1, 2, \dots, n$ ), если неферромагнитное пространство в области  $V^+$  заполнено проводящей средой с проводимостью  $\gamma$  и магнитной проницаемостью  $\mu = 1$ .

Предположим, что окружающая проводник  $V^+$  среда является однородной в магнитном отношении и имеет проницаемость  $\mu_0$ . Сформулируем поставленную задачу расчета поля в виде краевой. Для этого воспользуемся уравнениями Максвелла,

$$\operatorname{rot} \vec{H} = j_{\text{полн}}, \quad \operatorname{rot} \vec{E} = \frac{dB}{dt}$$

Уравнения синусоидального изменяющегося во времени электромагнитного поля имеют вид:

$$\operatorname{rot} \vec{H} = \gamma \vec{E} + j\omega \varepsilon \vec{E} + \dot{\vec{E}} \quad (1)$$

$$\operatorname{rot} \vec{E} = -j\omega \vec{H} \quad (2)$$

где  $\dot{\vec{E}}$  – вектор плотности стороннего тока, локализованного обычно в некоторой ограниченной части пространства (например, в катушках). Соответственно, при постоянстве параметров среды  $\gamma$ ,  $\varepsilon$  и  $\mu$

$$\operatorname{div} \vec{\delta} = 0; \quad (3)$$

$$\operatorname{div} \vec{l} = 0; \quad (4)$$

$$\operatorname{div} \vec{A} = 0; \quad (5)$$

Используя (1) и (2), поставленную задачу для расчета поля можно сформулировать в виде следующей краевой: найти в области  $V^-$  векторы  $\vec{H}^-$  и  $\vec{E}^-$ , а в области  $V^+$  векторы  $\vec{H}^+$  и  $\vec{E}^+$ , удовлетворяющие уравнениям:

$$\operatorname{rot} \vec{H} = \begin{cases} j\omega \varepsilon_0 \vec{E}^- + \vec{\delta}_k \\ j\omega \varepsilon_0 \vec{E}^+ \end{cases} \quad (6)$$

$$\operatorname{rot} \vec{E}^- = j\omega \mu_0 \vec{H}^-; \quad (7)$$

$$\operatorname{rot} \vec{H}^+ = j\omega \varepsilon_0 \vec{E}^- + \gamma \vec{E}^+; \quad (8)$$

$$\operatorname{rot} \vec{E}^+ = -j\omega \mu \vec{H}^+; \quad (9)$$

и краевым условиям на поверхности  $S$  проводника,

$$[\vec{n}, \vec{E}^+ - \vec{E}^-] = 0 \quad (10)$$

$$[\vec{n}, \vec{H}^+ - \vec{H}^-] = 0 \quad (11)$$

Для упрощения допустим, что сформулированная краевая задача имеет единственное решение, как показано и доказано в работах [5, 6]. Очевидно, что из условий (10), (11) и выражений (6) – (9) следуют краевые условия для нормальных составляющих векторов  $\vec{E}$  и  $\vec{H}$  на поверхности  $S$ :

$$(\vec{n}, \vec{H}^+ - \mu_0 \vec{H}^-) = 0; \quad (12)$$

$$\left( \vec{n}, \varepsilon_0 \vec{E}^+ - \frac{\gamma}{j\omega} \vec{E}^- - \varepsilon_0 \vec{E}^+ \right) = 0 \quad (13)$$

Для случая тонких неферромагнитных пленок растекание вихревого тока пленке можно считать поверхностным и описывать его при помощи функции тока. Работах [7, 8, 9] показано как функция тока применялась для расчета распределения вихревых токов в тонких пленках и оболочках. Однако, магнитным полем вихревых токов пренебрегали по сравнению с внешним магнитным полем, что на наш взгляд не всегда допустимо.

Под тонкой проводящей пленкой V (рис 2), будем понимать проводник ограниченный двумя параллельными поверхностями  $S_1$  и  $S_2$ , расстояние между которыми (толщина оболочки) много меньше размеров  $S_1$  и  $S_2$ .

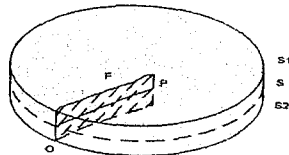


Рис.2. Тонкая проводящая пленка

Поверхность  $S$ , одинаково отстоящую от  $S_1$  и  $S_2$  будем называть средней поверхностью, а ограничивающий ее контур будем обозначать через  $L$ . Пусть  $P$  произвольная точка на  $S$ . Соединим ее каким-либо контуром  $C$  с любой точкой  $O$  границы  $L$ . Через  $F$  обозначим поверхность, заключенную между  $S_1$  и  $S_2$  и образованную движением нормали к  $S$  вдоль  $C$ . Значение функции тока  $\psi^B$  в точке  $P$  определяется как:

$$\psi^B(P) = \int_F \bar{\delta}(Q) d\bar{S}_Q \quad (14)$$

Из принципа непрерывности электрического тока следует, что значение функции тока не зависит от выбора контура  $C$ , соединяющего  $P$  с  $L$ , а определяется только положением точки  $P$ .

Реальную оболочку заменим бесконечно тонкой оболочкой, совпадающей с  $S$  и обладающей поверхностной удельной проводимостью  $\sigma = \gamma h$ . Действительное токораспределение в оболочке заменим поверхностным по  $S$  токораспределением, определив его при помощи соотношения:

$$\bar{J}^B = [\text{grad}_S \psi^B, \bar{n}], \quad (15)$$

где  $\bar{J}^B$  - вектор линейной плотности тока;  $\bar{n}$  - единичный вектор нормали; градиент берется по поверхности  $S$ . Найдем выражения для векторного потенциала  $\vec{A}^B$  поля, созданного вихревыми токами в оболочке  $S$ . Для разности скалярного магнитного потенциала  $\phi_m$  между точками  $P'$  и  $P''$ , бесконечно близко прилегающими с разных сторон к  $S$ , согласно закону полного тока получаем:

$$\phi_m(P') - \phi_m(P'') = \int_L \bar{H} d\bar{l} = \Psi^B(P) \quad (16)$$

Поэтому поверхностное распределение токов по  $S$  эквивалентно по создаваемому им магнитному полю двойному слою магнитных зарядов, распределенных по  $S$  с плотностью:

$$\tau(P) = \Psi^B(P). \quad (17)$$

Отсюда, используя формулу, выражающую векторный потенциал через плотность двойного слоя, находим

$$\vec{A}^B(Q) = \frac{\mu_0}{4\pi} \int_S \frac{\Psi^B(P)(\bar{r}_{QP}, \bar{n}_P)}{r_{QP}^3} dS_E \quad (18)$$

Соотношение (18) является основным для последующего вывода системы интегральных уравнений. Наиболее простой вид эта система имеет в случае, когда вихревые токи наводятся в проводящей тонкой пленке, а внешнее магнитное поле создается заданным распределением токов, вектор плотности которых параллелен плоскости пленки [9]. Расположим декартову систему координат так, что бы ось  $Z$  была перпендикулярна к плоскости пластины. Тогда для векторного потенциала поля вихревых токов и векторного потенциала внешнего поля получаем:

$$\vec{A}^B(Q) = \frac{\mu_0}{4\pi} \int_S \frac{\Psi^B(P)(\bar{r}_{QP}, \bar{k}_\square)}{r_{QP}^3} dS_E; \quad (19)$$

$$\vec{A}^\delta(Q) = \frac{\mu_0}{4\pi} \int_S \frac{i\bar{\delta}_x(P) + j\bar{\delta}_y(P)_{QP}, \bar{k}_\square}{r_{QP}} dS_E, \quad (20)$$

Придадим формуле (20) вид, аналогичный (19). С этой целью в каждом сечении  $z = \text{const}$  области  $V = \dots + V^-$  введём функцию тока  $\psi^\delta(x, y, z)$  при помощи соотношений:

$$\delta_x(x, y, z) = \frac{\partial \psi^\delta(x, y, z)}{\partial y}; \quad \delta_y(x, y, z) = \frac{\partial \psi^\delta(x, y, z)}{\partial x}, \quad (21)$$

Предположив при этом, что в области  $V^- \Psi^\delta(x, y, z) = I(z)$ , где  $I(z)$  – значение функции тока на внутренней боковой поверхности области.

Далее проинтегрировав по частям, находим:

$$A_x^\delta(Q) = \frac{\mu_0}{4\pi} \int_{x_f}^{x_i} \frac{\delta_x(P)}{r_{QP}} d\theta_P = \frac{\mu_0}{4\pi} \int_{x_f}^{x_i} \frac{\frac{\partial \Psi^B(P)}{\partial y}}{r_{QP}} d\theta_P = \frac{\mu_0}{4\pi} \int_{x_f}^{x_i} dz_P \int_{x_f}^{y^*(P)} dx_P \int_{y^*(P)}^{y^*(x_f)} \frac{\frac{\partial \Psi^B(x_P, y_P, z_f)}{\partial y_P} dy_P}{\sqrt{(x_0 - x_P)^2 + (y_0 - y_P)^2 + (z_0 - z_P)^2}};$$

$$\int_{y^*(x_f)}^{y^*(x_p)} \frac{\frac{\partial \Psi^B(x_p, y_p, z_p)}{\partial y_p} dy_p}{\sqrt{(x_0 - x_p)^2 + (y_0 - y_p)^2 + (z_0 - z_p)^2}} = \frac{\Psi^B(x_p, y_p, z_p) y^*(x_p)}{r_{QP}} - \int_{y^*(x_p)}^{y^*(x_f)} \frac{\Psi^B(x_p, y_p, z_p) x_p y_0 - y_p}{r_{QP}^3} dy_p = \int_{y^*(x_p)}^{y^*(x_f)} \frac{\Psi^B(x_p, y_p, z_p) x_p y_0 - y_p}{r_{QP}^3} dy_p;$$

$$A_x^\delta(Q) = \frac{\mu_0}{4\pi} \int_{y^*(x_f)}^{y^*(x_p)} \frac{\Psi^B(P)(y_Q - y_p)}{r_{QP}^3} d\theta_P. \quad (22)$$

При выводе соотношения (22) учтено, что  $\Psi^B(x_p, y_p, z_p)$  на внешней боковой поверхности

Из выражения (22) следует

$$A(Q) = \mu_0 / 4\pi \int_V \Psi^\delta(P) r_{QP}^{-3} d\theta_P. \quad (23)$$

Для линейной плотности  $\bar{J}^B$  вихревых потоков в пластине находим

$$\bar{J}^B = \gamma h \bar{E} = -j \omega \mu_0 (\bar{A}^B + \bar{A}^\delta) - \gamma h \text{grad} \Phi_e. \quad (24)$$

где скалярный электрический потенциал  $\varphi_*$  удовлетворяет на поверхности по переменным  $x$  и  $y$  уравнению Лапласа и выбирается в последующем таким образом, чтобы на краю пластины  $L$  выполнялось следующее граничное условие:

$$\bar{J}^B(Q) \cdot \bar{v}_E = 0,$$

где  $\bar{v}_E$  – единичный вектор нормали к  $L$ .

Выберем на  $S$  какой-либо контур  $C_{0Q}$ , соединяющий произвольно точки  $O$  и  $Q$ . Из определения функции тока имеем:

$$\psi^B(Q) - \psi^B(O) = \int_{C_{0Q}} (\bar{k} \cdot \bar{J}^B(M) \cdot d\bar{l}_M).$$

Отсюда, учитывая выражения (19), (23) и (24), находим

$$\psi^B(Q) - \psi^B(O) + \frac{j\omega\mu_0\gamma h}{4\pi} \left( \int_S \left[ \bar{k} \cdot \left[ \bar{r}_{PM}, \bar{k} \right] \cdot d\bar{l}_M \right] \right) dS_P + \int_V \psi^B(P) \left( \int_{C_{0Q}} \left[ \bar{k} \cdot \left[ \bar{r}_{PM}, \bar{k} \right] \cdot d\bar{l}_M \right] \right) dS_P + \gamma h \int_{C_{0Q}} \left[ \bar{k} \cdot [\text{grad} \varphi_*, d\bar{l}_M] \right] = 0. \quad (27)$$

Для двойного векторного произведения получаем

$$[\bar{r}_{PM}, \bar{k}] \cdot d\bar{l}_M = \bar{r}_{PM} (\bar{k} \cdot d\bar{l}_M) - \bar{k} (\bar{r}_{PM} \cdot d\bar{l}_M) = -\bar{k} (\bar{r}_{PM} \cdot d\bar{l}_M),$$

откуда  $(\bar{k} \cdot [\bar{r}_{PM}, \bar{k}] \cdot d\bar{l}_M) = -G_{PM} \cdot d\bar{l}_M$ .

Следовательно,

$$\int_{C_{0Q}} \frac{(\bar{k} \cdot [\bar{r}_{PM}, \bar{k}] \cdot d\bar{l}_M)}{r_{PM}^3} = \int_{C_{0Q}} \frac{-(\bar{r}_{PM} \cdot d\bar{l}_M)}{r_{PM}^3} = \int_{C_{0Q}} \text{grad}_M \left( \frac{1}{r_{PM}} \right) d\bar{l}_M = \frac{1}{r_{QP}} - \frac{1}{r_{OP}}.$$

Учитывая это, из выражения (27) находим

$$\psi^B(Q) - \psi^B(O) + \frac{j\omega\mu_0\gamma h}{4\pi} \left( \int_S \psi^B(P) \left( \frac{1}{r_{QP}} - \frac{1}{r_{OP}} \right) dS_P + \int_V \psi^B(P) \left( \frac{1}{r_{QP}} - \frac{1}{r_{OP}} \right) dV_P \right) + \gamma h \int_{C_{0Q}} \left[ \bar{k} \cdot [\text{grad} \varphi_*, d\bar{l}_M] \right] = 0. \quad (28)$$

Скалярный потенциал  $\varphi_*$  в области  $S$  является решением внутренней задачи Неймана для уравнения Лапласа с краевым условием

$$\frac{\partial \varphi_*}{\partial \bar{v}}(Q) = -j\omega A_v^B(Q) - j\omega A_v^S(Q), \quad (29)$$

определенным из соотношений (25) и (24).

Для разрешимости внутренней задачи Неймана необходимо и достаточно, чтобы

$$\int_L A_v^B(Q) d\bar{l}_Q + \int_L A_v^S(Q) d\bar{l}_Q = 0 \quad (30)$$

Из соотношений (19) и (23) следует, что условие будет выполнено, если,

$$\int_L \frac{(\bar{v}_0, [\bar{r}_{QP}, \bar{k}])}{r_{QM}^3} d\bar{l}_Q = 0. \quad \text{Справедливость этого соотношения проверяется просто:}$$

$$\int_L \frac{(\bar{v}_0, [\bar{r}_{QP}, \bar{k}])}{r_{QM}^3} d\bar{l}_Q = \int_L \text{grad}_Q \left( \frac{1}{r_{QP}} \right) d\bar{l}_Q = 0$$

Определив потенциал в виде

$$\varphi_*(Q) = \frac{1}{2\pi} \oint_L \sigma(P) \ln \left( \frac{1}{r_{QP}} \right) d\bar{l}_P,$$

применив выражение (29) имеем интегральное уравнение

$$\sigma(Q) \frac{1}{\pi} \int_L \sigma(P) \frac{[\cos(\bar{v}_0, \bar{r}_{QP})]}{r_{QP}^2} d\bar{l}_P + \frac{j\omega\mu_0}{2\pi} \int_S \psi^B(P) \sin[(\bar{r}_{QP}, \bar{v}_0)] dS_P = -\frac{j\omega\mu_0}{2\pi} \int_L \psi^B(M) \sin[(\bar{r}_{QP}, \bar{v}_0)] d\bar{l}_P, \quad (31)$$

где  $P$  – проекция  $P$  на плоскость пластины.

Таким образом, интегральное уравнение (31) решено, однако решений может быть больше одного [10]. Для того, чтобы это уравнение стало однозначно разрешимым, преобразуем его к виду:

$$\sigma(Q) - \frac{1}{\pi} \oint_L \sigma(P) \frac{[\cos(\bar{v}_0, \bar{r}_{QP}) - \frac{\pi}{L}]}{r_{QP}^2} d\bar{l}_P + j\frac{\omega\mu_0}{2\pi} \int_S \frac{\psi^B(M) \sin[(\bar{r}_{QP}, \bar{v}_0)]}{r_{QP}^2} dS_P = -\frac{j\omega\mu_0}{2\pi} \int_L \psi^B(M) \sin[(\bar{r}_{QP}, \bar{v}_0)] d\bar{l}_P, \quad (32)$$

Нетрудно видеть, что

$$\int_{C_{0Q}} \left( \bar{k} \cdot [\text{grad} \varphi_*, d\bar{l}_M] \right) = \frac{1}{2\pi} \oint_L \sigma(P) \left( \int_{C_{0Q}} \text{grad}_n \left( \frac{\ln 1}{r_{PM}} \right) d\bar{l}_M \right) d\bar{l}_P = \frac{1}{2\pi} \oint_L \sigma(P) [\Theta(Q, P) - \Theta(O, P)] d\bar{l}_P, \quad (33)$$

где  $\text{grad}_n$  – нормальная к контуру  $C_{0Q}$  составляющая градиента;  $\Theta(Q, P)$  – угол между некоторой осью  $x$  и  $\bar{r}_{QP}$ . Учитывая равенство (33), из выражения (28) находим

$$\psi^B(Q) + \frac{j\omega\mu_0\gamma h}{4\pi} \int_S \frac{\psi^B(P)}{r_{QP}} dS_P + \frac{\gamma h}{2\pi} \int_L \sigma(P) \Theta(Q, P) d\bar{l}_P + \frac{j\omega\mu_0\gamma h}{4\pi} \int_V \frac{\psi^B(P)}{r_{QP}} dV_P = \psi^B(O) + \frac{j\omega\mu_0\gamma h}{4\pi} \int_S \frac{\psi^B(P)}{r_{QP}} dS_P + \frac{\gamma h}{2\pi} \int_L \sigma(P) \Theta(O, P) d\bar{l}_P + \frac{j\omega\mu_0\gamma h}{4\pi} \int_V \frac{\psi^B(P)}{r_{QP}} dV_P. \quad (34)$$

Левая часть уравнения зависит только от  $Q$ , а правая – от  $\Theta$ , поэтому каждая из них поровну равна одной и той же константе, т.е.

$$\psi^B(Q) + \frac{j\omega\mu_0\gamma h}{4\pi} \int_S \frac{\psi^B(P)}{r_{QP}} dS_P + \frac{\gamma h}{2\pi} \int_L \sigma(P) \Theta(Q, P) d\bar{l}_P + \frac{j\omega\mu_0\gamma h}{4\pi} \int_V \frac{\psi^B(P)}{r_{QP}} dV_P = C \quad (35)$$

Дифференцируя уравнение (35) по касательному к контуру  $L$  направлению  $\bar{l}_0$  и учитывая, что

$$\frac{\partial \Theta(Q, P)}{\partial \bar{l}_Q} = \frac{\partial \ln 1}{\partial v_Q},$$

находим

$$\frac{\partial \psi^B(Q)}{\partial \bar{l}_Q} + \frac{j\omega\mu_0\gamma h}{4\pi} \int_S \frac{\psi^B(P) \sin[(\bar{r}_{QP}, \bar{v}_Q)]}{r_{QP}^2} dS_P + \frac{j\omega\mu_0\gamma h}{4\pi} \int_V \frac{\psi^B(P) \sin[(\bar{r}_{QP}, \bar{v}_Q)]}{r_{QP}^2} dV_P + \frac{\gamma h}{2\pi} \int_L \sigma(Q) \frac{[\cos(\bar{v}_0, \bar{r}_{QP})]}{r_{QP}^2} d\bar{l}_P + \frac{j\omega\mu_0\gamma h}{4\pi} \int_L \psi^B(M) \sin[(\bar{r}_{QP}, \bar{v}_Q)] d\bar{l}_P = 0$$

$$\frac{\partial \psi^B(Q)}{\partial \bar{l}_Q} = 0$$

Отсюда и из выражения (31) получаем

Таким образом, из уравнений (35) и (31) следует, что

$$\psi^B(Q) \equiv \text{const при } Q \in L. \quad (36)$$

Для того, чтобы  $\psi^B(Q) = 0$  при  $Q \in L$ , константу С в выражении (35) нужно выбрать таким образом, чтобы

$$\int_L \psi^B(Q) dI_Q = 0 \quad (37)$$

Тогда из соотношений (36) и (37) получаем

$$\psi^B(Q) \equiv 0 \text{ при } Q \in L. \quad (38)$$

Интегрируя выражение (35) по  $L$  и учитывая условие (37), находим

$$C = \frac{j\omega_0 \gamma h}{4\pi L} \int_L \psi^B(P) \left[ \frac{dI_Q}{dI_P} \right] dI_P + \frac{\gamma h}{2\pi L} \int_L \sigma(P) \left[ \int_L \Theta(Q, P) dI_Q \right] dI_P + \frac{j\omega_0 \gamma h}{4\pi L} \int_L \psi^B(P) \left[ \frac{dI_Q}{dI_P} \right] dI_P.$$

Подставляя последнее в выражение (35), находим распределение

$$\psi^B(Q) + \frac{j\omega_0 \gamma h}{4\pi} \int_S \psi^B(P) \left[ \frac{1}{r_{QP}} - \frac{1}{L} \left( \frac{dI_M}{dI_P} \right) \right] dI_P + \frac{\gamma h}{2\pi L} \int_S \sigma(P) \left[ \Theta(Q, P) - \frac{1}{L} \left( \theta(M, P) dI_M \right) \right] dI_P = -\frac{j\omega_0 \gamma h}{4\pi} \int_S \psi^B(P) \left[ \frac{1}{r_{QP}} - \frac{1}{L} \left( \frac{dI_M}{dI_P} \right) \right] dI_P. \quad (39)$$

**Вывод.** Таким образом решение задачи численного расчета электромагнитного поля вихревых токов в тонкой пленке, позволяет получить зависимости для поверхностной удельной электрической проводимости и функции тока, образующие полную систему интегральных уравнений. Решение системы уравнений, позволяет найти распределение  $\psi^B(Q)$  и  $\delta(Q)$ , по которым определяют линейную плотность вихревого тока.

#### СПИСОК ИСПОЛЬЗОВАННЫХ ИСТОЧНИКОВ

- Неразрушающий контроль. Справочник в 7 т.: Т.2 / под общ. ред. В.В.Клюева. М.: Машиностроение, 2003. – 688 с.: ил.
- Светличный В.А., В.В. Тулупов Неразрушающий контроль пленок и покрытий // Системи оброблення і військова техніка – Харків ХУПС ім. І.Кожедуба - 2010 - №3(23) с. 160-162.
- Цейтлин Л.А Вихревые токи в тонких пластинах и оболочках. – «Журнал технической физики». Т.XXXIX. 1969 №10.
- Цейтлин Л.А Потери на вихревые токи в тонких пластинах. – «Электричество», 1969, №9.
- Тозони О.В. Метод вторичных источников в электротехнике. М.: Энергия, 1975. 296 с.
- Тозони О.В., Маергойд И.Д. Расчет трехмерных электромагнитных полей. К.: Техника, 1974. 352 с.
- Данилушкин А.И., Данилушкин И.А. Метод вторичных источников для моделирования электромагнитных процессов при индукционном нагреве // Вестник СамГТУ. Серия: Физико-математические науки. 1998. № 6. С. 141-142.
- Ковбасенко Ю.П. Метод расчета трехмерного электромагнитного поля тонких пластин и оболочек // Электричество. 1992. № 14. С. 45-47.
- Некрасов Н.Н., Смирнов С.А. К расчету вихревых токов в тонкой пластине // Электричество. 1998. № 10. С. 61-65.
- Гримальский О.В. Метод расчета трехмерного электромагнитного поля тонких пластин и оболочек // Изв. АН СССР. Энергетика и транспорт. 1990. № 6. С. 61-68.

Серпуховитина Т.Ю., канд. техн. наук, доцент

Губкинский институт (филиал)

ФГБОУ ВПО «Московский государственный  
открытый университет им. В.С. Черномырдина»

#### ВОЗДЕЙСТВИЕ ГОРНОДОБЫВАЮЩИХ ПРЕДПРИЯТИЙ НА РАСТИТЕЛЬНЫЙ И ЖИВОТНЫЙ МИР БЕЛГОРОДСКОЙ ОБЛАСТИ

Работа горнодобывающих предприятий региона приводит к прямому и косвенному воздействию на растительный мир.

Основными видами прямого воздействия на растительность являются:

1. Механическое (уничтожение и угнетение растительности в пределах дополнительного отчуждаемых земель в результате размещения объектов предприятия, передвижения машин и механизмов, планировочных и земляных работ).

2. Химическое (угнетение растительности в результате негативного воздействия выбросов загрязняющих веществ в атмосферу при работе оборудования, машин и механизмов).

Опосредованное воздействие будет связано с изменением характера землепользования, что приведет к временному перераспределению и изменению количественных соотношений диких животных, и, как следствие, к изменению структуры экосистемы и сложившихся биоценотических отношений.

Работа предприятий связана с постоянным присутствием людей и работой оборудования на территории, что окажет воздействие на животное население, как на площади дополнительного отвода земли, так и в зонах влияния объекта.

Негативное воздействие на животных окажут следующие факторы:

- полное уничтожение исходных биотопов на дополнительной площади ведения работ;
- загрязнение природной среды;
- проявление фактора беспокойства, вынуждающего большую часть зверей и птиц покидать свойственные им биотопы.

Вследствие загрязнения биотопов горюче-смазочными и химическими материалами возможны заболевания и гибель животных.

В период производства планируемых работ животное население данной территории будет испытывать воздействие от проявления фактора беспокойства, нарушающего спокойное пребывание диких животных в угодьях. Он формируется под влиянием следующих причин:

- шума и вибраций, создаваемых при проведении технологических операций и при работе машин и механизмов;
- источников тепловых, акустических и электрических полей;
- пребывания в угодьях людей.

Самым существенным видом воздействия на животный мир будет уничтожение местообитаний в пределах отчуждаемых земель. Кроме того, шумовые, вибрационные и световые воздействия, производимые при выполнении технологических операций, будут причиной беспокойства животных, обитающих в районе месторождения и, как следствие, вызовут откочевку части особей с прилегающей к месторождению территории.

Основной ущерб животному миру будет связан с уничтожением биотопов в пределах участка проектируемых работ, исключением из воспроизводства части птиц

Министерство образования и науки РФ  
Федеральное государственное бюджетное образовательное учреждение  
высшего профессионального образования  
«Московский государственный открытый университет  
имени В.С. Черномырдина»

***ЭКОНОМИКА, НАУКА, ПРОИЗВОДСТВО***

Сборник научных трудов №25

Москва  
2012

96



УДК 001  
УДК 330  
УДК 658

Э 35

Экономика, наука, производство: Сборник научных трудов №25 – М.: Издательство «Московский государственный открытый университет имени В.С. Черномырдина, 2012.– 164 с.

Сборник содержит научные труды, представленные профессорско-преподавательским составом Губкинского института (филиала) ФГБОУ ВПО МГОУ имени В.С. Черномырдина и других вузов по техническим, гуманитарным, естественным, социально-экономическим наукам.

Материалы публикуются в авторской редакции.

Редакционная коллегия: канд. техн. наук, доц. О.П. Зюбан (редактор); канд. экон. наук, доц. А.П. Жилинкова (зам. редактора); док. ист. наук, С.В. Богданов; канд. техн. наук., доц. В.Н. Аллилуев; канд. филол. наук В.И. Дружинина; канд. техн. наук Т.Ю. Серпуховитина; канд. филос. наук Н.А. Тошева.

УДК 001  
УДК 330  
УДК 658

Э 35

© Авторы, 2012 г.  
© ФГБОУ ВПО «Московский государственный  
открытый университет имени В.С. Черномырдина»  
2012 г.

96

ФГБОУ ВПО  
МГУ им. М.В.Ломоносова

## СОДЕРЖАНИЕ

Аллилуев В.Н., Бизюлев М.А. КОМПЛЕКСНОЕ ТЕХНИЧЕСКОЕ ОБСЛЕДОВАНИЕ СОСТОЯНИЯ ПОДЗЕМНОГО СООРУЖЕНИЯ	6
Афанасьев В.А., Наталуха Ю.В., Токарев В.В. ВОССТАНОВЛЕНИЕ ИЗОБРАЖЕНИЙ НА ОСНОВЕ ФИНИТНЫХ ДЕКОНВОЛЮЦИОННЫХ ОКОН, ПОСТРОЕННЫХ С ИСПОЛЬЗОВАНИЕМ АТОМАРНЫХ ФУНКЦИЙ	10
Афанасьева Г.Е. СРАВНИТЕЛЬНАЯ ДИНАМИКА СОСТОЯНИЯ ВОЗДУШНОГО БАССЕЙНА ГОРОДОВ СТАРЫЙ ОСКОЛ И ГУБКИН	14
Богданова Л.П. МАТЕМАТИЧЕСКИЕ ВЫЧИСЛЕНИЯ В ЭКОЛОГИИ	17
Бондаренко А.Ю., Ключник И.И. ИССЛЕДОВАНИЕ И ПРИМЕНЕНИЕ ПИРОЭЛЕКТРИЧЕСКИХ ПРЕОБРАЗОВАТЕЛЕЙ ИНФРАНІЗКОГО ЧАСТОТНОГО ДІАПАЗОНА	20
Борисенко А.С., Наталуха Ю.В., Ключник И.И. МЕТОДЫ АДАПТИВНОЙ МАРШРУТИЗАЦИИ И ИХ ОПТИМИЗАЦИЯ	27
Булгаков И.С., Терехин Е.П., Секисова И.А. ИССЛЕДОВАНИЕ ЗАВИСИМОСТИ КОЭФФИЦІЕНТА ГІДРАВЛІЧЕСКОГО ТРЕNІЯ ЖИДКОСТИ ( $\lambda$ ), СКОРОСТИ ( $U$ ), КОЭФФІЦІЕНТА КІНЕТИЧЕСЬКОЇ ВЯЗКОСТІ ( $\nu$ ), ЧИСЛА РЕЙНОЛЬДСА ( $RE$ ) ОТ ТЕМПЕРАТУРЫ ПРИМЕНЕЛЬНО К ГІДРОПРИВОДУ	31
Булгаков И.С., Фурсова Г.И., Сивакова Т.М. ОБОСНОВАНИЕ РАЦИОНАЛЬНОГО РЕЖИМА РАБОТЫ ГІДРОТРАНСПОРТНОГО КОМПЛЕКСА С ТРУБНЫМ ЗАГРУЗОЧНЫМ АППАРАТОМ ПРИ ДОСТАВКЕ АБРАЗИВНЫХ РУД	35
Булгаков И.С., Чергова Е.П., Серпуховитина Т.Ю. ІІІОЗОКОЛОГІЧНІ ПРОБЛЕМЫ І ПУТИ РЕАЛІЗАЦІІ ВІЗОВОДНОЇ ПЕРЕРАБОТКИ ОТХОДОВ ОБОГАЩЕННЯ КМА МОБІЛЬНИМИ ТЕХНОЛОГІЧНИМИ КОМПЛЕКСАМИ	39
Глісни П.В. ПОВЫШЕНИЕ ЭФФЕКТИВНОСТИ СБОРА ИНФОРМАЦИИ В БЕСПРОВОДНЫХ СЕНСОРНЫХ СЕТЯХ	42
Гарбовицкий А.И., Крутских В.В., Зюбан А.П. ВЫРАЖЕНИЕ СРЕДНЕЙ МОЛННОЙ ТЕПЛОЕМКОСТИ ПРИ ПОСТОЯННОМ ОБЪЕМЕ ПРОДУКТОВ СГОРАНИЯ БЕНЗИНА И ДИЗЕЛЬНОГО ТОПЛИВА ЛИНЕЙНЫМИ ЗАВИСИМОСТЯМИ ОТ АБСОЛЮТНОЙ ТЕМПЕРАТУРЫ ДЛЯ ДИАПАЗОНОВ КОНЕЧНЫХ ТЕМПЕРАТУР РАБОЧИХ ПРОЦЕССОВ ДВС	45



<b>Гзогян Т.Н.</b> ОСОБЕННОСТИ СОСТАВА И СВОЙСТВ ОКИСЛЕННЫХ ЖЕЛЕЗИСТЫХ КВАРЦИТОВ МИХАЙЛОВСКОГО МЕСТОРОЖДЕНИЯ КМА	52
<b>Гзогян Т.Н., Булгакова А.П., Гзогян С.Р.</b> ОСОБЕННОСТИ СОСТАВА И СВОЙСТВ ОКИСЛЕННЫХ ЖЕЛЕЗИСТЫХ КВАРЦИТОВ СТАРООСКОЛЬСКОГО РАЙОНА КМА	59
<b>Дрегель Л.Г.</b> КОНСТРУКТИВНЫЕ РЕШЕНИЯ БАШЕННЫХ КОПРОВ ЕВРОПЕЙСКИХ ШАХТ С БОЛЬШОЙ ПРОИЗВОДИТЕЛЬНОСТЬЮ	66
<b>Дрегель Л.Г.</b> ПОВЫШЕНИЕ ЭФФЕКТИВНОСТИ ГЛУШИТЕЛЕЙ ШУМА ПНЕВМАТИЧЕСКИХ БУРИЛЬНЫХ ГОЛОВОК, УСТАНОВОК И СТАНКОВ ДЛЯ БУРЕНИЯ ШПУРОВ НА ГОРНОРУДНЫХ ПРЕДПРИЯТИЯХ	71
<b>Дружинина В.И.</b> ЕВРАЗИЙСТВО КАК ПОИСК ПУТИ РОССИИ В XXI ВЕКЕ	77
<b>Жилинкова А.П.</b> ПОДГОТОВКА ИННОВАЦИОННО-ОРИЕНТИРОВАННЫХ МЕНЕДЖЕРОВ	80
<b>Зуев Н.Г., Титаренко А.М., Подгайко О.И.</b> АППРОКСИМАЦИИ ХАРАКТЕРИСТИКИ НАМАГНИЧИВАНИЯ НЕЛИНЕЙНОЙ ИНДУКТИВНОСТИ	82
<b>Ключник И., Шинкаренко Ю.</b> СИНХРОННЫЕ ВЫПРЯМИТЕЛИ В ПОНИЖАЮЩЕ - ПОВЫШАЮЩИХ КОНВЕРТЕРАХ	87
<b>Козырев В.А., Глушков А.И.</b> ПРИМЕНЕНИЕ ЭЛЕКТРОАКУСТИЧЕСКИХ ПРЕОБРАЗОВАТЕЛЕЙ В ГИДРОАКУСТИКЕ	92
<b>Колесникова Г.Н.</b> О СОВРЕМЕННЫХ ЭНЕРГЕТИЧЕСКИХ ПРЕОБРАЗОВАНИЯХ	95
<b>Левина Т.А.</b> АНТРОПОГЕННЫЕ ИЗМЕНЕНИЯ АТМОСФЕРЫ В УСЛОВИЯХ СЕЛЬСКОХОЗЯЙСТВЕННЫХ ЭКОСИСТЕМ	97
<b>Логвинова А.Н.</b> ФИНАНСОВОЕ ПЛАНИРОВАНИЕ И УПРАВЛЕНЧЕСКИЙ УЧЕТ: ПРОБЛЕМЫ ВНЕДРЕНИЯ	100
<b>Мальцева В.Е.</b> ИССЛЕДОВАНИЯ ВЛИЯНИЯ СВОЙСТВ КОНЦЕНТРАТА НА ТЕХНОЛОГИЮ ОКОМКОВАНИЯ И КАЧЕСТВО ОКАТЫШЕЙ ДЛЯ МЕТАЛЛИЗАЦИИ	102
<b>Панченко А.Ю., Жданов Н.Н., Умяров Р.Я.</b> ТЕНДЕНЦИИ И ПЕРСПЕКТИВЫ РАЗВИТИЯ МЕТОДИК ИЗВЛЕЧЕНИЯ ИНФОРМАЦИИ ПРИ АКУСТИЧЕСКОМ ЗОНДИРОВАНИИ АТМОСФЕРНОГО ПОГРАНИЧНОГО СЛОЯ	105

<b>Пополов М.Ф.</b> МОДЕЛЬ ВЗАИМОСВЯЗИ МЕЖДУ ВЫЛЕТОМ КРЮКА И ГРУЗОПОДЪЕМНОСТЬЮ МОНТАЖНОГО КРАНА	109
<b>Потинова О.Н., Помельникова О.М., Шилова О.Н.</b> СТРАТЕГИЧЕСКИЕ ПРИОРИТЕТЫ РАЗВИТИЯ СЕЛЬСКОГО ХОЗЯЙСТВА ГУБКИНСКОГО ГОРОДСКОГО ОКРУГА	111
<b>Русинова Т.И.</b> ОСОБЕННОСТИ СОВРЕМЕННОГО МЕНЕДЖМЕНТА	114
<b>Светличный В.А., Хорошайло Ю.Е., Константинова Л.И.</b> РАСЧЕТ ЭЛЕКТРОМАГНИТНЫХ ПОЛЕЙ В ТОНКИХ ПЛЕНКАХ	116
<b>Серпуховитина Т.Ю.</b> ВОЗДЕЙСТВИЕ ГОРНОДОБЫВАЮЩИХ ПРЕДПРИЯТИЙ НА РАСТИТЕЛЬНЫЙ И ЖИВОТНЫЙ МИР БЕЛГОРОДСКОЙ ОБЛАСТИ	123
<b>Сивякова Т.М.</b> ОПРЕДЕЛЕНИЕ УПРУГИХ ХАРАКТЕРИСТИК ОТДЕЛЬНЫХ ЭЛЕМЕНТОВ КАРДАННЫХ ШАРНИРОВ	125
<b>Силкина Ю.В.</b> АНАЛИЗ СПОСОБОВ АДАПТАЦИИ МОЛОДЕЖИ В СИТУАЦИИ ПОИСКА РАБОТЫ	128
<b>Силкина Ю.В.</b> ЛОКАЛИЗАЦИЯ КОНТРОЛЯ КАК ФАКТОР РЕГУЛИРОВАНИЯ СОЦИАЛЬНОЙ АДАПТАЦИИ БЕЗРАБОТНОЙ МОЛОДЕЖИ	133
<b>Тириарус В.В.</b> ИННОВАЦИИ В БЕЛГОРОДСКОЙ ОБЛАСТИ, КАК СОСТАВНАЯ ЧАСТЬ ОБЩЕРОССИЙСКОГО ПРОЦЕССА.	136
<b>Фурсова Г.И.</b> МЕСТО ЧЕРЧЕНИЯ В СОВРЕМЕННОЙ СИСТЕМЕ ОБРАЗОВАНИЯ	142
<b>Цымбал Л.И., Лысенков Н.А.</b> О СОЗДАНИИ И АНАЛИЗЕ КОМПЬЮТЕРНЫХ ТЕСТОВ ДЛЯ ТЕХНИЧЕСКИХ ДИСЦИПЛИН	146
<b>Шевчук М.И., Шубин Б.К.</b> СОВЕРШЕНСТВОВАНИЕ КАЛЬКУЛИРОВАНИЯ СЕБЕСТОИМОСТИ ДОБЫЧИ РУДЫ НА ЖЕЛЕЗОРУДНЫХ ШАХТАХ	151
<b>Шубин Б.К., Тимофеев П.В.</b> СТИМУЛИРОВАНИЕ ЭКОНОМИИ МАТЕРИАЛЬНЫХ И ТОПЛИВНО- ЭНЕРГЕТИЧЕСКИХ РЕСУРСОВ НА ГОРНОРУДНЫХ ПРЕДПРИЯТИЯХ	155
<b>Шульгинин П.П.</b> УВЛИЧЕНИЕ ДОХОДА РАБОТНИКА ВОЗМОЖНО ЗА СЧЕТ ДАЛЬНЕЙШЕГО СОВЕРШЕНСТВОВАНИЯ ОПЛАТЫ ТРУДА НА ПРЕДПРИЯТИИ	162

Сборник научных трудов №25  
2012 г.

**ЭКОНОМИКА, НАУКА, ПРОИЗВОДСТВО**

Корректура авторов  
Компьютерная верстка: В.В. Тараруев

Формат 60x84/16. Тираж 100 экз. Заказ 5.

Издательство ФГБОУ ВПО «МГОУ имени В.С. Черномырдина», г. Москва  
Отпечатано в Губкинском институте (филиале) ФГБОУ ВПО  
«Московский государственный открытый университет имени В.С. Черномырдина».  
309186, Белгородская обл., г. Губкин, ул. Комсомольская, 16